

دانشگاه صنعتی خواجه نصیرالدین طوسی

دانشگاه صنعتی خواجه نصیرالدین طوسی

final course project

Course: Machine Learning

Student Name: Hadi Fathipour

Student Number: 40411334

خلاصه پژوهش

هدف این پژوهش، تشخیص آلام آتش‌سوزی از روی داده‌های حسگرهای IoT است. برای این منظور، یک مدل شبکه عصبی چندلایه و یک مدل SVM آموزش داده شده‌اند و عملکرد آن‌ها با معیارهای مختلف مقایسه شده است. در این گزارش، مدل نهایی، نحوه آموزش، نمودارهای اصلی، جدول مقایسه و تحلیل خطا را به ارائه می‌شود.

منبع داده دیتاست مورد استفاده از مجموعه Kaggle Smoke Detection Dataset تهیه شده است که بر پایه پژوهش Real-time Smoke Detection (AI-based Sensor Fusion) معرفی شده است. برای هر رکورد، زمان UTC ثبت شده و سناریوهای متنوعی مانند محیط‌های داخلی/خارجی عادی، آتش چوب و گاز در محیط آموزشی آتش‌نشانی، کباب در فضای باز، و رطوبت بالا پوشش داده شده‌اند. همچنین ویژگی‌های حسگری شامل دما، رطوبت، eCO2، TVOC، Raw Ethanol، Raw H2، eCO2، TVOC، PM1.0/PM2.5 و غلظت عددی ذرات NC0.5/NC1.0/NC2.5 هستند.

معرفی داده‌ها

داده‌ها شامل ویژگی‌های حسگرهای محیطی (دما، رطوبت، TVOC، eCO2، اتانول خام و فشار) و برچسب Fire Alarm هستند. برچسب برابر ۱ نشان‌دهنده رخداد آتش و ۰ نشان‌دهنده حالت عادی است.

آمار کلی داده‌ها تعداد کل نمونه‌ها قبل از پاکسازی برابر 62630 است. پس از پاکسازی داده‌ها (حذف پرت‌ها و آماده‌سازی)، تعداد نمونه‌ها به 47457 کاهش یافته است.

توزیع برچسب‌ها تعداد نمونه‌های با برچسب ۱ (آتش‌سوزی) برابر 33431 است که حدود 70.44% از کل داده‌ها را تشکیل می‌دهد. تعداد نمونه‌های با برچسب ۰ (عدم حریق) برابر 14026 است که حدود 30% از داده‌ها است. این توزیع نشان می‌دهد داده‌ها نامتوازن هستند و بنابراین معیارهایی مثل Recall و F1 برای ارزیابی کلاس آتش‌سوزی اهمیت بیشتری دارند.

پیش‌پردازش

مراحل اصلی پیش‌پردازش به صورت زیر انجام شده است:

■ بررسی همبستگی ویژگی‌ها با برچسب Fire Alarm

■ حذف ویژگی‌های کم‌اثر بر اساس تحلیل همبستگی و دانش مسئله.

■ شناسایی و حذف داده‌های پرت با روش IQR

■ بررسی مقادیر گمشده و توزیع برچسب‌ها.

مدل نهایی

مدل نهایی یک شبکه عصبی چندلایه (MLP) است که به صورت زیر تعریف شده است:

■ دو لایه مخفی با تعداد نرون‌های [40, 20]

■ تابع فعال‌سازی سیگموید

■ Dropout و Batch Normalization برای کاهش بیش‌برازش

■ لایه خروجی با سیگموید برای طبقه‌بندی دودویی

نحوه آموزش

آموزش به دو روش انجام شده است:

۱. روش **Holdout**: تقسیم داده به آموزش و آزمون و گزارش معیارها.
۲. اعتبارسنجی **K-Fold**: آموزش و ارزیابی در چند تکرار برای کاهش بایاس ارزیابی.

نمودارها

نمودارهای زیر برای تحلیل مدل و داده‌ها استفاده شده‌اند:

□ نمودار همبستگی ویژگی‌ها با برچسب

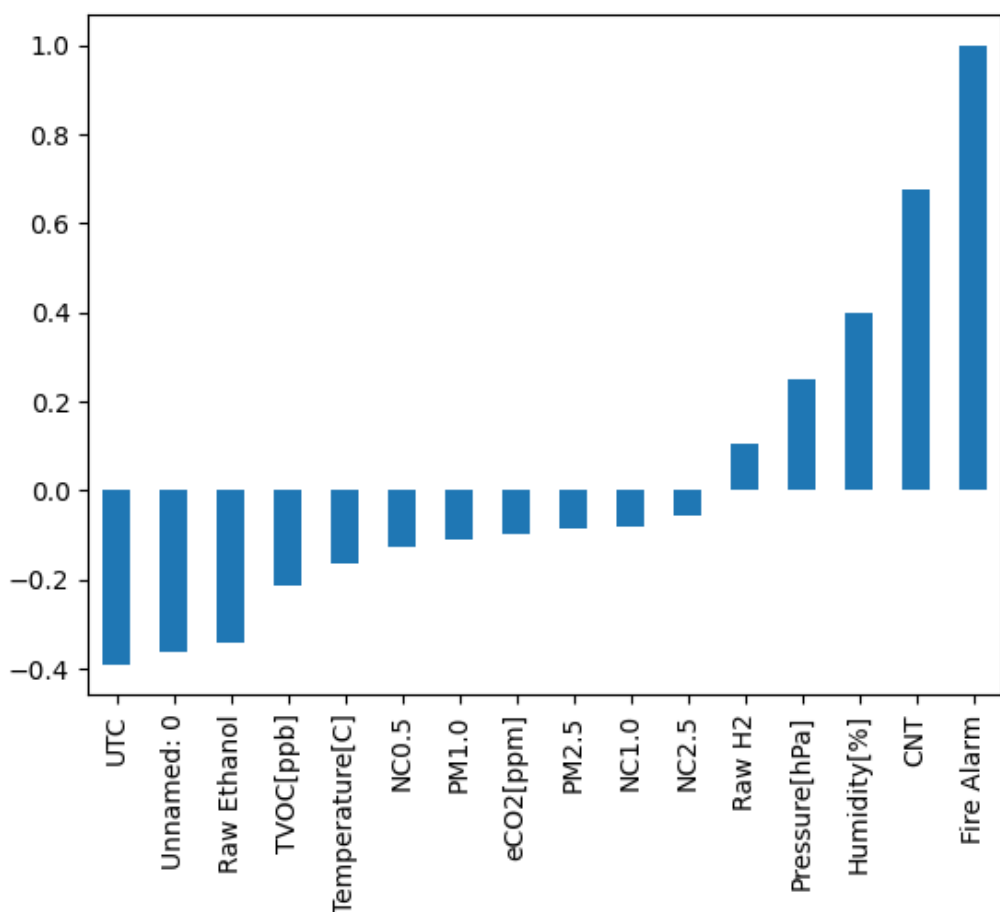
□ نمودار جعبه‌ای برای مشاهده داده‌های پرت

□ نمودار تاریخچه آموزش (کاهش خطأ و تغییر معیارها)

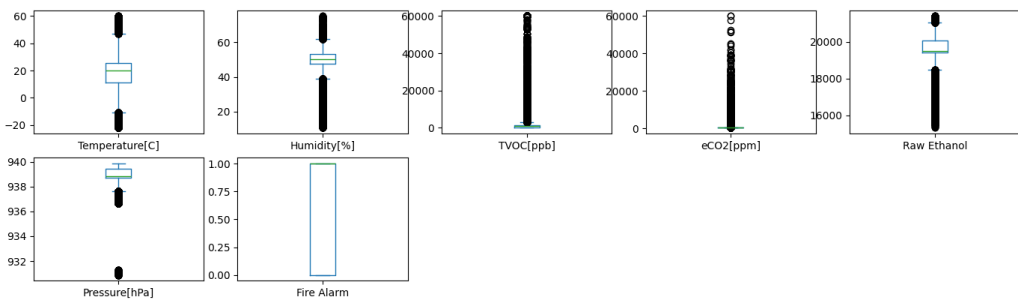
Confusion Matrix □

ROC 曲线 □

□ نمودار SHAP برای تفسیر ویژگی‌ها



شکل ۱: نمودار همبستگی ویژگی‌ها با برچسب Fire Alarm



شکل ۲: نمودار جعبه‌ای برای مشاهده داده‌های پرت

جدول مقایسه مدل‌ها

در جدول زیر معیارهای اصلی مقایسه شده‌اند. اعداد باید پس از اجرای نهایی نوت‌بوک قرار داده شوند.

Loss	AUC	F1	Recall	Precision	Accuracy	مدل
0.058116	0.998408	0.984837	0.998953	0.971114	0.978317	شبکه عصبی
		0.999791	0.999821	0.999761	0.999705	SVM

تحلیل خطأ

تحلیل خطأ بر اساس Confusion Matrix انجام می‌شود. موارد مهم:

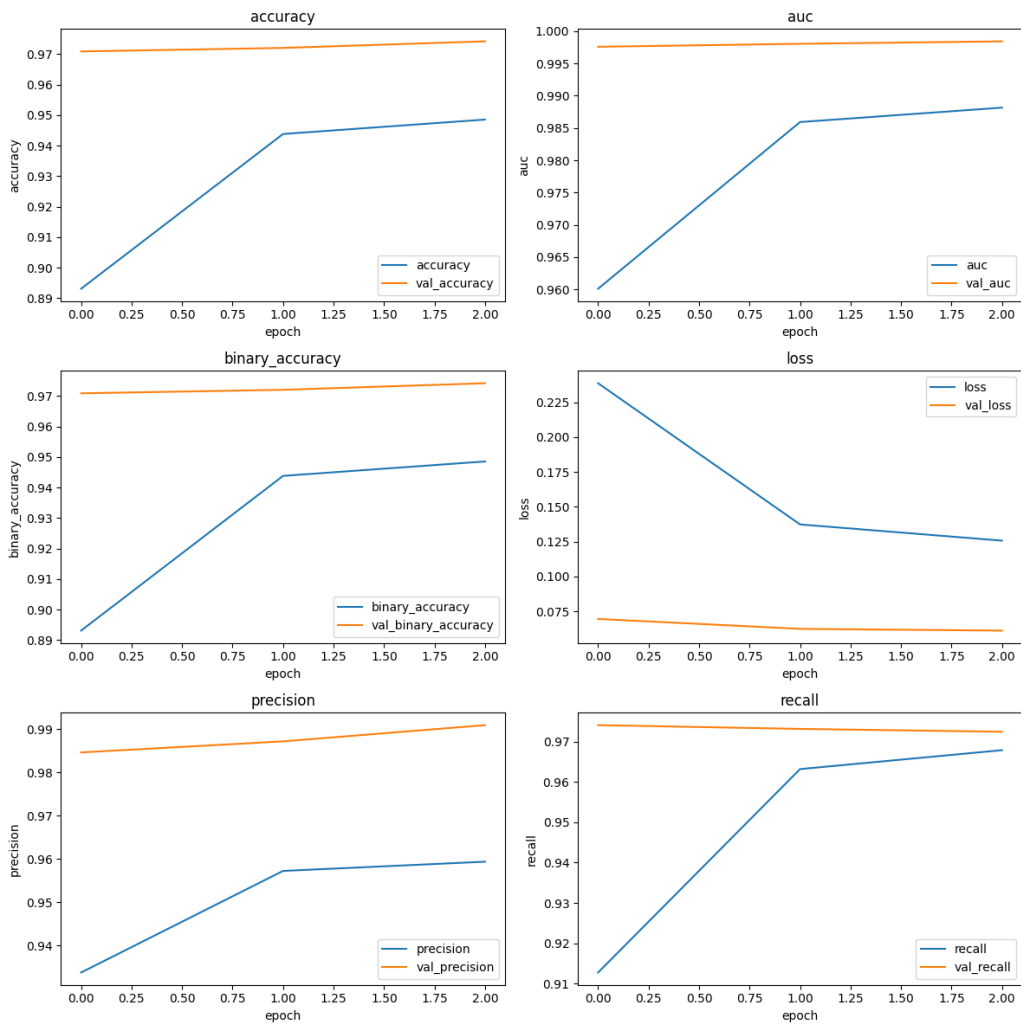
آتش واقعی که مدل آن را تشخیص نداده است (ریسک بالا). **False Negative** □

هشدار اشتباه (هزینه عملیاتی). **False Positive** □

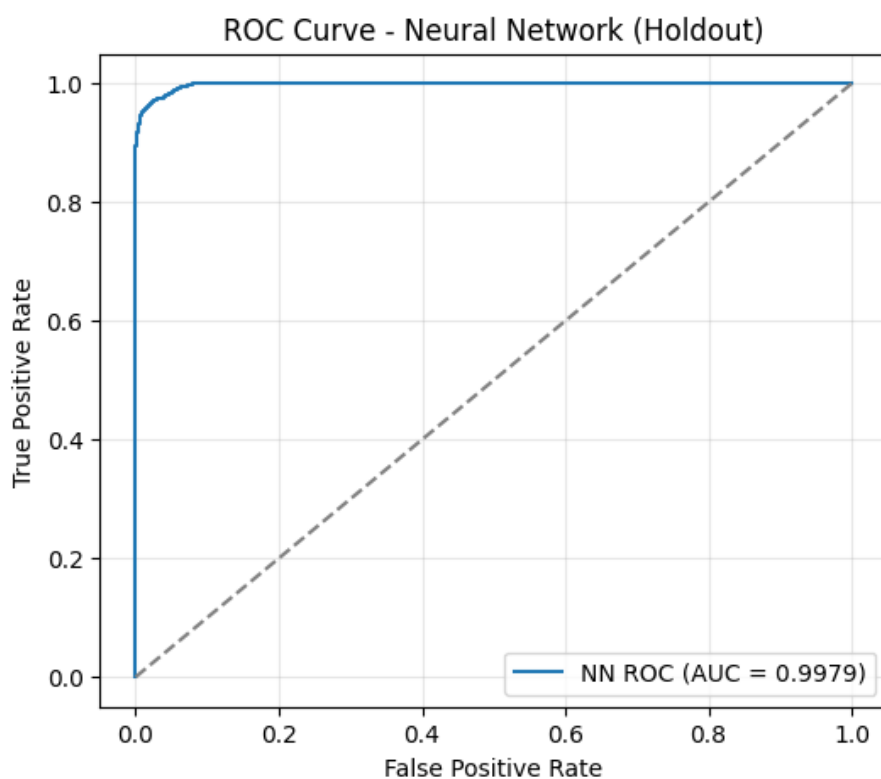
بررسی می‌شود که آیا مدل به سمت یکی از کلاس‌ها سوگیری دارد یا خیر، و آیا آستانه تصمیم‌گیری باید تنظیم شود.

نتیجه‌گیری

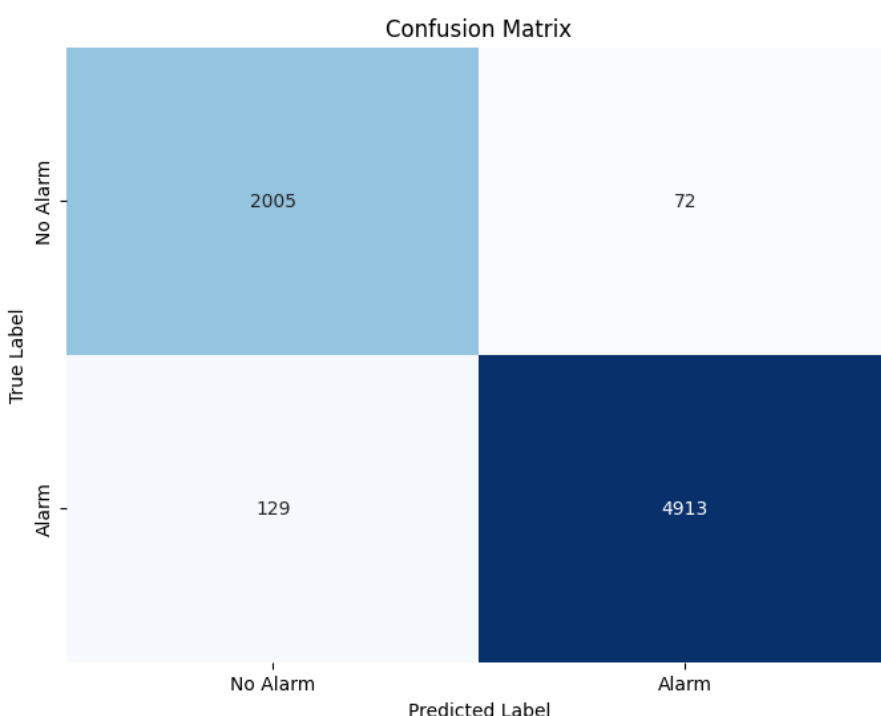
در این پروژه، مدل شبکه عصبی عملکرد بالایی در تشخیص آلام نشان داد و با مدل SVM مقایسه شد. با توجه به نتایج، شبکه عصبی عملکرد بهتری در معیارهای کلی داشت، اما تحلیل خطأ نشان می‌دهد که باید روی کاهش False Negative تمرکز ویژه داشت. همچنین اجرای ارزیابی بدون نشت داده، تصویر دقیق‌تری از تعمیم‌پذیری مدل ارائه می‌دهد.



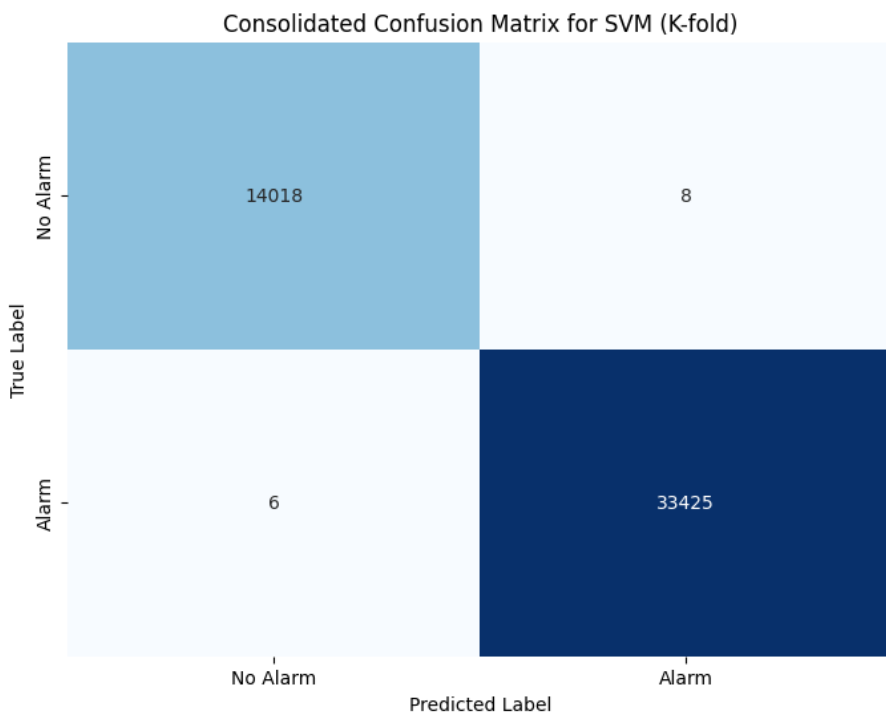
شکل ۳: نمودار تاریخچه آموزش شبکه عصبی (خطا و معیارها)



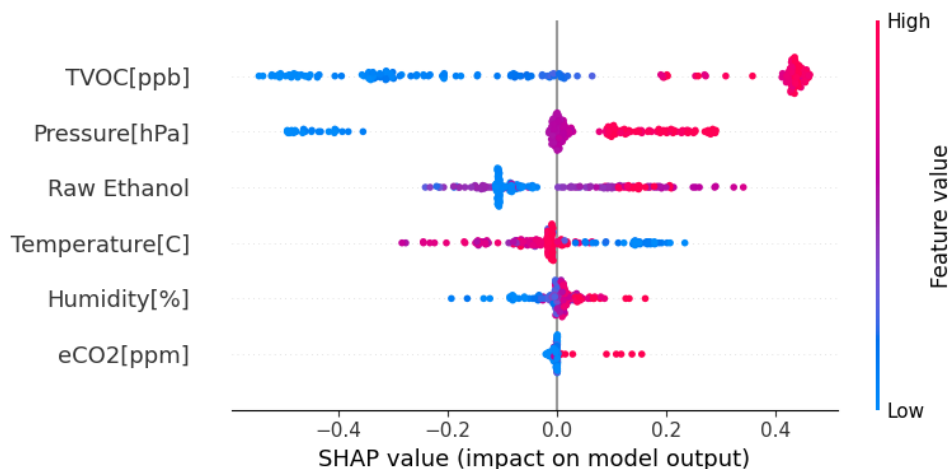
شکل ۴: منحنی ROC برای شبکه عصبی



شکل ۵: ماتریس درهم‌ریختگی (Confusion Matrix) برای شبکه عصبی



شکل ۶: ماتریس درهم ریختگی (Confusion Matrix) برای SVM



شکل ۷: نمودار SHAP برای تفسیر اهمیت ویژگی ها

	Model	Accuracy	Precision	Recall	AUC	F1	Loss
0	Neural Network	0.978317	0.971114	0.998953	0.998408	0.984837	0.058116
1	SVM	0.999705	0.999761	0.999821	NaN	0.999791	NaN

شکل ۸: خلاصه نتایج و مقایسه نهایی